



การตรวจจับสาร์มอนิกด้วยวิธีทฤษฎีกำลังรีแอกทีฟขณะนี้ สำหรับวงจรกรองกำลังรีแอกทีฟ

ทศพ พרגส์ฤทธิ์ และ กองพล อริรักษ์
สาขาวิชาคิวกรรมไฟฟ้า สำนักวิชาคิวกรรมศาสตร์
มหาวิทยาลัยเทคโนโลยีสุรนารี อำเภอเมือง จังหวัดนครราชสีมา 30000

บทคัดย่อ

บทความนี้ได้นำเสนอเกี่ยวกับ การตรวจจับสาร์มอนิกด้วยวิธีทฤษฎีกำลังรีแอกทีฟขณะนี้ เนื่องจาก การตรวจจับสาร์มอนิกด้วยวิธีดังกล่าว เป็นวิธีที่มีประสิทธิภาพสำหรับการใช้งานร่วมกับวงจรกรองกำลังรีแอกทีฟ การจำลองสถานการณ์การกำจัดสาร์มอนิกของบทความนี้ใช้ชุดบล็อกไฟฟ้ากำลัง (Power System Blockset: PSB) ของโปรแกรม MATLAB ซึ่งการจำลองสถานการณ์ดังกล่าวใช้แบบจำลองของวงจรกรองกำลังรีแอกทีฟ สองรูปแบบด้วยกัน คือ แบบจำลองของวงจรกรองกำลังรีแอกทีฟเป็นแหล่งจ่ายกระแสสูตรดิตีชุดเซเรว์อนิก ได้อ่าย่างสมบูรณ์ และแบบจำลองของวงจรกรองกำลังรีแอกทีฟเป็นอินเวอร์เตอร์ชนิดแหล่งจ่ายแรงดัน ซึ่ง แบบจำลองในลักษณะนี้ได้ถูกตีบังกับวงจรกรองกำลังรีแอกทีฟสำหรับการใช้งานจริง นอกจากนี้ผลการจำลอง สถานการณ์ดังกล่าวรวมถึงการอภิปรายผล ได้นำเสนอไว้ในบทความนี้ด้วยเช่นกัน

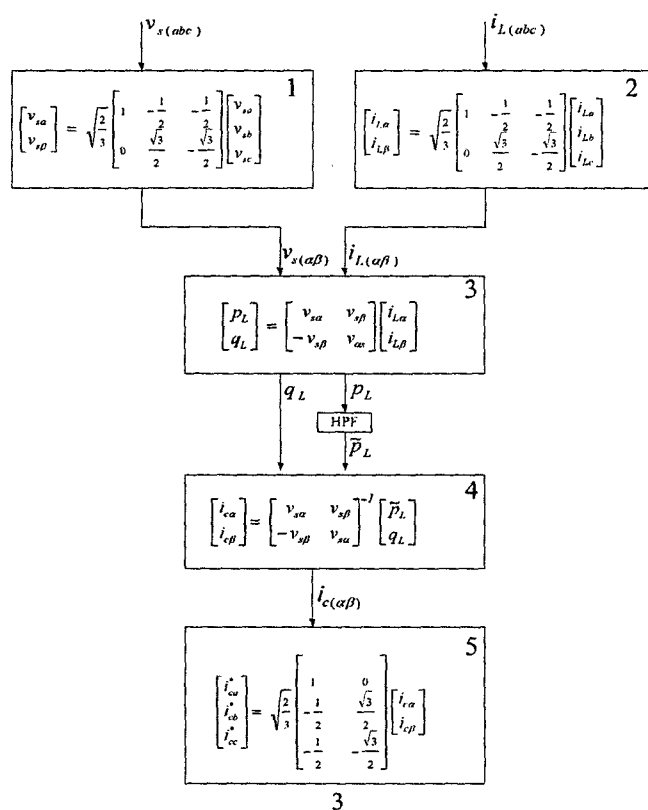
คำสำคัญ การตรวจจับสาร์มอนิก, วงจรกรองกำลังรีแอกทีฟ

บทนำ

ระบบไฟฟ้ากำลังที่ต้องเข้ากับโหลดที่มีการทำงานแบบไม่เป็นเชิงเส้น จะต้องให้เกิดสาร์มอนิก ซึ่งเป็นปัญหา หรือผลกระทบทางไฟฟ้าที่สำคัญอย่างหนึ่ง ปัญหาดังกล่าวจะก่อให้เกิดกำลังงานสูญเสียที่สายส่ง และกำลังงาน สูญเสียภายในตัวอุปกรณ์ไฟฟ้า อีกทั้งยังทำให้อุปกรณ์ไฟฟ้าต่างๆ มีการทำงานผิดพลาดและมีอาชญาการใช้งานสั่น ลง[1] ดังนั้นจึงมีความจำเป็นอย่างยิ่งที่ต้องทำการแก้ไขปัญหาสาร์มอนิกให้หมดไปหรือลดน้อยลง เพื่อให้ระบบ ไฟฟ้ากำลังมีคุณภาพทางไฟฟ้าเพิ่มขึ้น การกำจัดสาร์มอนิกในปัจจุบันมีอยู่หลายวิธีด้วยกัน เช่น การใช้วงจรกรอง กำลังพาสซีฟ[2] การใช้วงจรกรองกำลังรีแอกทีฟ[3] และการใช้วงจรกรองกำลังไอบริดจ์[4] แต่ในบทความนี้ นำเสนอการจำลองสถานการณ์การกำจัดสาร์มอนิกสำหรับวงจรกรองกำลังรีแอกทีฟเท่านั้น ทั้งนี้เนื่องจากวงจร กรองกำลังรีแอกทีฟมีความยืดหยุ่นในการใช้งานสูง อีกทั้งยังไม่ประสบปัญหาจากสภาพแวดล้อมน้ำท่วม ไฟไหม้ การตรวจจับ สาร์มอนิกที่ได้นำเสนอในบทความนี้ใช้วิธีทฤษฎีกำลังรีแอกทีฟขณะนี้[5] เนื่องจากวิธีดังกล่าวเป็นวิธีที่ได้รับ ความนิยมและมีประสิทธิภาพสูงในการตรวจจับสาร์มอนิก นอกจาคนี้ในบทความนี้ได้นำเสนอวิธีการควบคุมการ ทำงานของวงจรกรองกำลังรีแอกทีฟโดยใช้วิธีสเตอเรอิซีส[6] ที่สามารถควบคุมการนี้ด้วยกระแสสัมภาระของวงจรกรอง กำลังรีแอกทีฟอย่างได้ผล การจำลองสถานการณ์ ผลการจำลองสถานการณ์ รวมถึงการอภิปรายผล ได้ถูกนำเสนอ ไว้ในบทความนี้ด้วยเช่นกัน

การตรวจสอบอาร์มอนิกด้วยวิธีทฤษฎีกำลังรีแอคทีฟขณะหนึ่ง

การตรวจสอบอาร์มอนิกด้วยวิธีทฤษฎีกำลังรีแอคทีฟขณะหนึ่ง ใช้หลักการแปลงปริมาณทางไฟฟ้าสามเฟส (abc) เป็นปริมาณทางไฟฟ้านั้นแกน $\alpha\beta$ ซึ่งการคำนวณดังกล่าวแสดงไว้ดังรูปที่ 1 ดังนี้



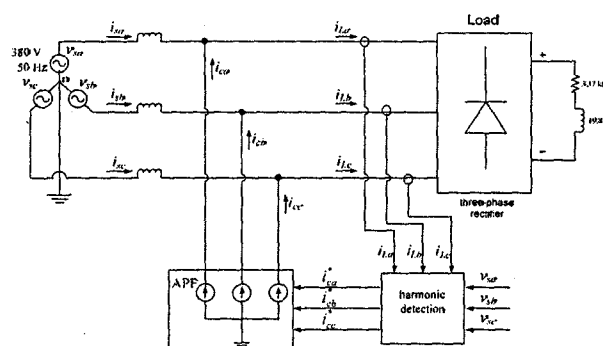
รูปที่ 1 แผนภาพการคำนวณการตรวจสอบอาร์มอนิกด้วยวิธีทฤษฎีกำลังรีแอคทีฟขณะหนึ่ง

จากรูปที่ 1 เริ่มต้นจากการแปลงแรงดันไฟฟ้าทางด้านแหล่งจ่าย (v_s) และกระแสไฟฟ้าทางด้านโหลด (i_L) จากปริมาณทางไฟฟ้าสามเฟสเป็นปริมาณทางไฟฟ้านั้นแกน $\alpha\beta$ ดังนี้ ล็อกที่ 1 และ 2 จากนั้นคำนวณหาค่ากำลังแอคทีฟขณะหนึ่งทางด้านโหลด (P_L) และค่ากำลังรีแอคทีฟขณะหนึ่งทางด้านโหลด (Q_L) จากสมการในล็อกที่ 3 สำหรับการคำนวณกระแสหาร์มอนิกและการชดเชยกำลังรีแอคทีฟให้กับระบบสามารถทำได้โดยการใช้วงจรกรองกำลังรีแอคทีฟ (Active Power Filter: APF) ที่อ้างอิงสัญญาณกระแสและอ้างอิงในการชดเชยให้กับระบบ โดยสัญญาณกระแสและอ้างอิงดังกล่าวบนแกน $\alpha\beta$ คำนวณได้จากสมการในล็อกที่ 4 (\tilde{P}_L คือปริมาณทางกระแสไฟฟ้ากระแสสลับของ P_L ซึ่งใช้วงจรกรองผ่านสูง (High Pass Filter : HPF) กรองสัญญาณเพื่อให้ได้ส่วนที่เป็นกระแสสลับผ่านเท่านั้น) และขั้นตอนที่ 5 ทำการแปลงสัญญาณกระแสและอ้างอิงบนแกน $\alpha\beta$ กลับไปเป็นกระแสอ้างอิงสามเฟส ($i_{ca}^*, i_{cb}^*, i_{cc}^*$) ดังนี้

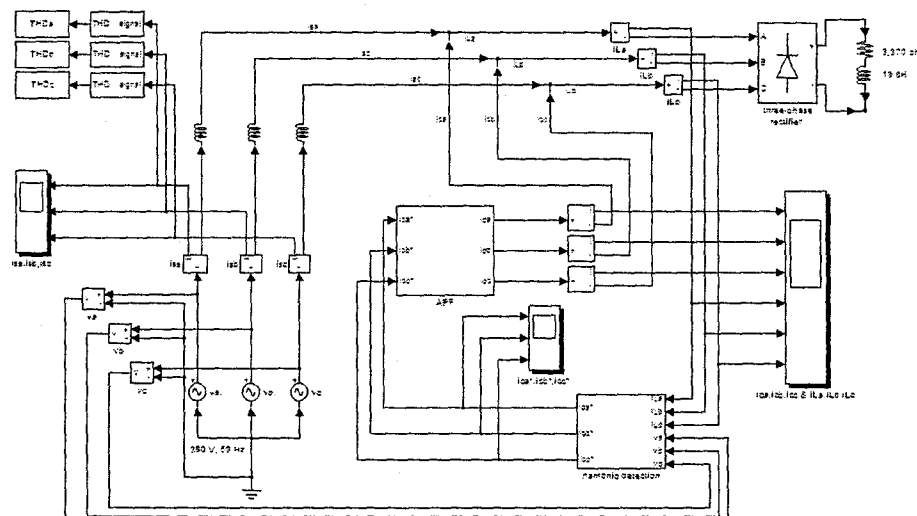


การจำลองสถานการณ์แบบจำลองของวงจรกรองกำลังแยกที่ฟื้นแพลงจ่ายกระแสสูตรมคติ

การจำลองสถานการณ์แบบจำลองของวงจรกรองกำลังแยกที่ฟื้นแพลงจ่ายกระแสสูตรมคติ ใช้สำหรับการทดสอบวงจรกรองผ่านสูงชนิดต่าง ๆ เพื่อตรวจสอบสมรรถนะของการระบุเอกสารยืนยันนิเกิดด้วยวิธีทฤษฎีกำลังรีแอกทีฟขณะนี้ ซึ่งระบบสำหรับการจำลองสถานการณ์ และแผนภาพการจำลองสถานการณ์ที่สร้างขึ้นจากชุดบล็อกไฟฟ้ากำลังแสดงได้ดังรูปที่ 2 และรูปที่ 3 ตามลำดับ



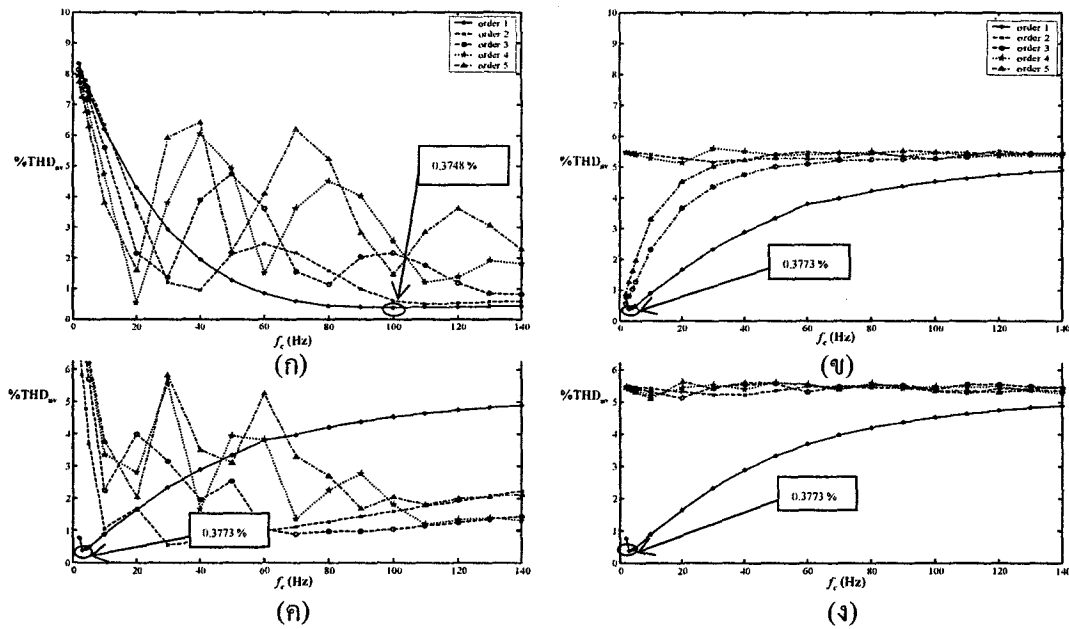
รูปที่ 2 ระบบสำหรับการจำลองสถานการณ์



รูปที่ 3 แผนภาพการจำลองสถานการณ์โดยใช้ชุดบล็อกไฟฟ้ากำลัง

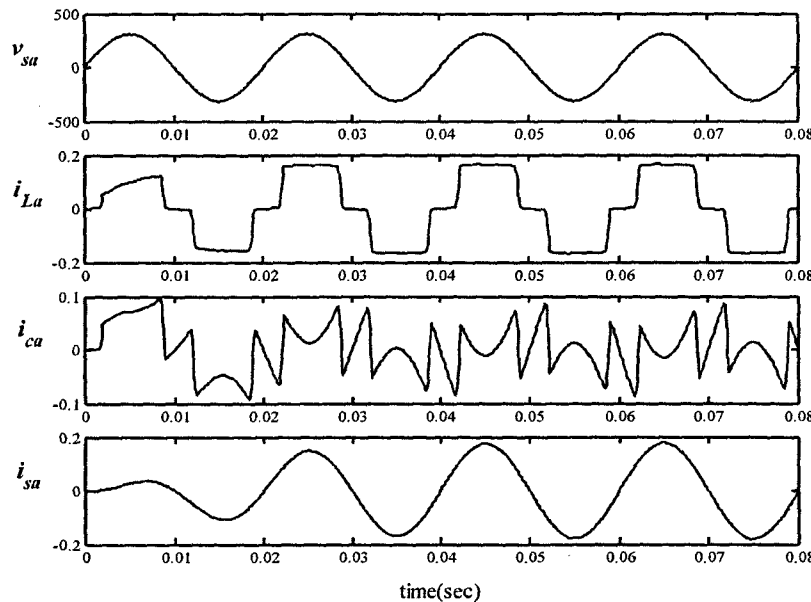
การทดสอบวงจรกรองผ่านสูงในส่วนของการตรวจจับสาร์มอนิกด้วยวิธีทฤษฎีกำลังรีแอกทีฟขณะนี้ทำการทดสอบทั้งหมด 4 ชนิด คือ ชนิด Butterworth ชนิด Chebyshev I ชนิด Chebyshev II และชนิด Elliptic การทดสอบดังกล่าวจะใช้ค่าเปอร์เซ็นต์ความเพียบสาร์มอนิกรวมเฉลี่ยทั้งสามเฟส (%THD_{av}) ของกระแสทางด้านแหล่งจ่ายหลังการขาดเชย ซึ่งมีสูตรการการคำนวณเป็นไปตามสมการที่ (1) โดยผลการทดสอบวงจรกรองผ่านสูงชนิดต่าง ๆ แสดงไว้ดังรูปที่ 4

$$\% \text{THD}_{\text{av}} = \sqrt{\frac{\sum_{k=a,b,c} \% \text{THD}_k^2}{3}} \quad (1)$$



รูปที่ 4 (ก) ผลการทดสอบ HPF ชนิด Butterworth (ห) ผลการทดสอบ HPF ชนิด Chebyshev I
(ค) ผลการทดสอบ HPF ชนิด Chebyshev II (จ) ผลการทดสอบ HPF ชนิด Elliptic

จากรูปที่ 4 สรุปได้ว่าค่า $\% \text{THD}_{\text{av}}$ หลังการซัดเซย์ที่ได้จากการจำลองสถานการณ์ที่ใช้งานกรองผ่านสูงชนิด Butterworth อันดับวงจรกรองที่ 1 ที่ค่าความถี่ตัดเท่ากับ 100 Hz ในการตรวจสอบอนิมิก ส่งผลให้กระแสไฟฟ้าที่แหล่งจ่ายกำลังไฟฟ้าหลักหลังการซัดเซย้มีค่า $\% \text{THD}_{\text{av}}$ น้อยที่สุดโดยมีค่าเท่ากับ 0.3748 เปอร์เซ็นต์ซึ่งหมายความว่าวงจรกรองผ่านสูงชนิดดังกล่าวให้ประสิทธิภาพสูงสุด โดยผลการจำลองสถานการณ์ดังกล่าวในกรณีไฟสี a คูณได้จากรูปที่ 5



รูปที่ 5 ผลการจำลองสถานการณ์หลังการเชคเชิงกรณีไฟฟ้า a

จากรูปที่ 5 สังเกตได้ว่ารูปสัญญาณกระแสทางด้านแหล่งกำลังไฟฟ้าหลัก (i_{sa}) จะถูกเข้าสู่สภาวะคงตัวที่ช่วงเวลาประมาณ 0.05 วินาที ทั้งนี้เนื่องจากผลของวงจรกรองผ่านสูงที่ทำให้รูปสัญญาณกระแสดังกล่าวมีเวลาประจวบเกิดขึ้นในช่วงเริ่มต้น แต่เมื่อเวลาผ่านไปหลัง 0.05 วินาที พบรูปสัญญาณกระแสดังกล่าวที่มีค่ากระแสสูงสุดประมาณ 0.18 แอมเปอร์ ซึ่งค่า %THD ของกระแสทางด้านแหล่งกำลังไฟฟ้าหลักทั้งสามเฟส แสดงไว้ดังตารางที่ 1 ดังนี้

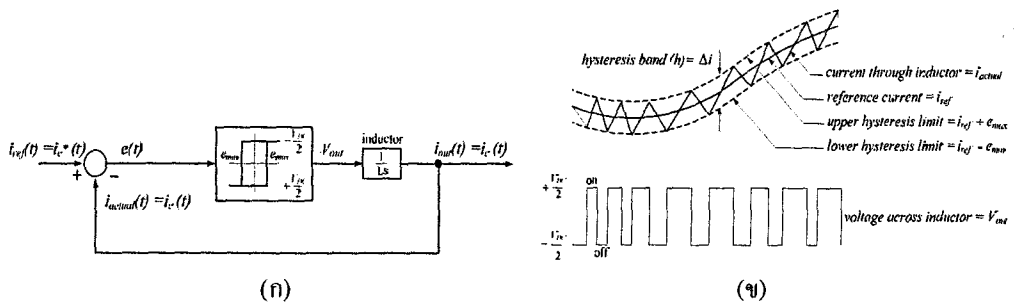
ตารางที่ 1 ค่า %THD ของการจำลองสถานการณ์กรณี APF เป็นแหล่งกำลังจ่ายกระแสสูตรคติ

%THD ของกระแสไฟฟ้า	เฟส			%THD _{av}
	a	b	c	
%THD _{ก่อนการเชคเช}	25.5063	25.4145	25.5798	25.5003
%THD _{หลังการเชคเช}	0.3822	0.3806	0.3613	0.3748

การจำลองสถานการณ์แบบจำลองของวงจรกรองกำลังแยกกิฟฟ์เป็นอินเวอร์เตอร์

1 การควบคุมกระแสสูตรคติที่ต้องใช้สัญญาณรีเซ็ตอิเล็กทรอนิกส์

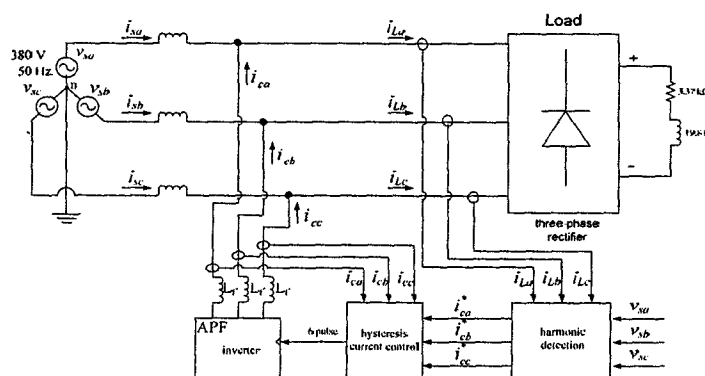
การควบคุมกระแสสูตรคติที่ต้องใช้สัญญาณรีเซ็ตอิเล็กทรอนิกส์ มีโครงสร้างบล็อกโดยรวมและลักษณะของการควบคุมรูปคลื่นสัญญาณแสดงได้ดังรูปที่ 6 ดังนี้



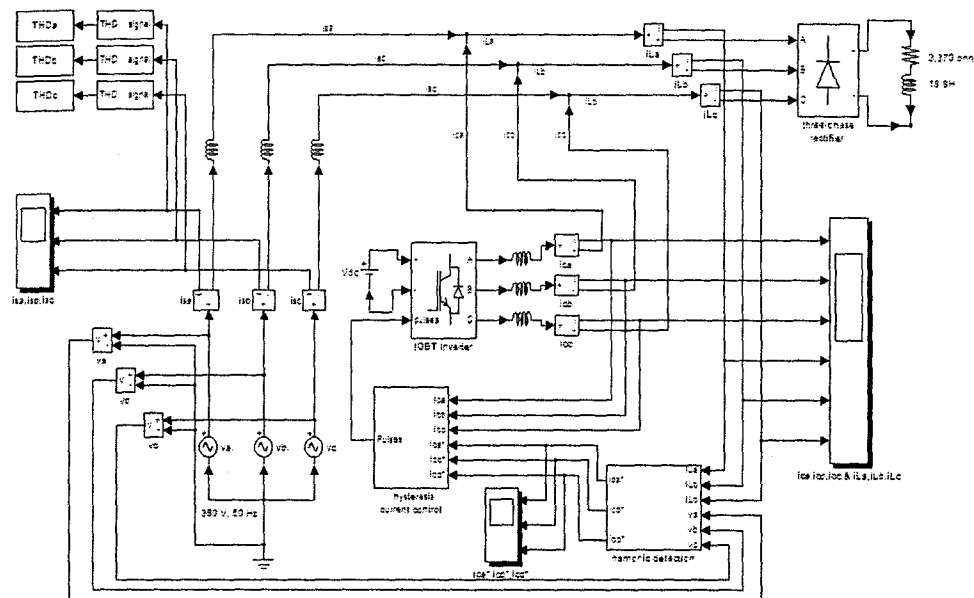
รูปที่ 6 (ก) โครงสร้างบล็อกไดอะแกรมการควบคุมกระแสเดย์วิชีสเตอเรอีซีส
(ข) ลักษณะการควบคุมรูปคลื่นสัญญาณด้วยวิชีสเตอเรอีซีส

จากรูปที่ 6 (ก) ค่าความคลาดเคลื่อนของสัญญาณทางด้านอินพุต ($e(t)$) คือ ผลต่างระหว่างค่ากระแสอ้างอิง ($i_{ref}(t)$) กับค่ากระแสเดย์วิชีสเตอเรอีซีส ($i_{actual}(t)$) ซึ่งค่าความคลาดเคลื่อนดังกล่าวจะนำไปใช้สำหรับควบคุมการทำงานของสวิตช์ซึ่งเป็นทรานзิสเตอร์ที่นำมาสร้างเป็นวงจรอินเวอร์เตอร์ เพื่อผลิตกระแสเดย์วิชีสเตอเรอีซีส ($i_c(t)$) ให้กับวงจรทำงานของอิเล็กทรอนิกส์ ทำให้สามารถเปลี่ยนแปลงค่าความคลาดเคลื่อนของรูปคลื่นสัญญาณ สูงสุด (e_{max}) กับค่าความคลาดเคลื่อนของรูปคลื่นสัญญาณต่ำสุด (e_{min}) โดยหลักการทำงานของการควบคุมกระแสเดย์วิชีสเตอเรอีซีส คือ เมื่อค่าความคลาดเคลื่อนของสัญญาณมีค่าเท่ากับค่าขอบเขตบนของอิสเตอเรอีซีส (upper hysteresis limit) สวิตช์จะหยุดนิ่ง กระแส (off) ทำให้ค่ากระแสเดย์วิชีสเตอเรอีซีส ($i_c(t)$) ลดลงจนถึงค่าขอบเขตล่างของอิสเตอเรอีซีส (lower hysteresis limit) สวิตช์จะนำกระแส (on) ทำให้ค่ากระแสเดย์เพิ่มขึ้นจนไปถึงค่าขอบเขตบนของอิสเตอเรอีซีส อีกครั้งหนึ่ง โดยจะเป็นเช่นนี้ไปเรื่อยๆ ตลอดการทำงานซึ่ง อธิบายได้ดังรูปที่ 6 (ข)

2 การจำลองสถานการณ์การกำจัดสารมิโนิก

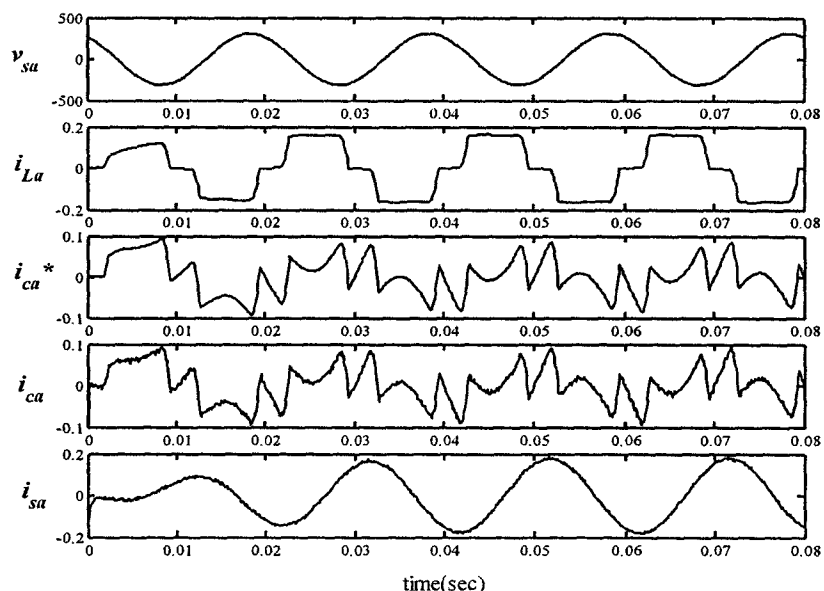


รูปที่ 7 ระบบสำหรับการจำลองสถานการณ์เมื่อ APF เป็นอินเวอร์เตอร์



รูปที่ 8 แผนภาพการจำลองสถานการณ์โดยใช้ชุดคุณลักษณะสำหรับกำลังเมื่อ APF เป็นอินเวอร์เตอร์

ระบบสำหรับการจำลองสถานการณ์กรณีวิ่งของกรองกระแสกำลังแบบที่ฟีเป็นอินเวอร์เตอร์ชนิดแหล่งจ่ายแรงดันที่แสดงในรูปที่ 7 ใช้การควบคุมการทำงานของสวิตซ์โดยเล็กทรอนิกส์กำลังตัววิธีอิสเทอเรชีส จากระบบดังกล่าวเมื่อนำมาสร้างโดยใช้ชุดคุณลักษณะสำหรับกำลังจะแสดงได้ดังรูปที่ 8 โดยส่วนของการตรวจจับสารมอนิกใช้วงจรกรองผ่านสูงชนิด Butterworth จากการทดสอบในหัวข้อที่ 3 ซึ่งผลการจำลองสถานการณ์ในกรีฟส์ a จะได้จากรูปที่ 9



รูปที่ 9 ผลการจำลองสถานการณ์หลังการซักเชยกรีฟส์ a เมื่อ APF เป็นอินเวอร์เตอร์

จากรูปที่ 9 สังเกตได้ว่า ลักษณะรูปสัญญาณของกระแสเดย์ชิง (i_{ca}) ที่จ่ายโดยวงจรกรองกำลังแยก ที่ฟรีช์เป็นอินเวอร์เตอร์ เป็นไปตามลักษณะรูปสัญญาณของกระแสอ้างอิง (i_{ca}^*) ที่ได้จากการตรวจสอบนิเกิลวิธีทฤษฎีกำลังรีแยกที่ฟรีช์ ซึ่งส่งผลให้รูปสัญญาณกระแสไฟฟ้าที่แหล่งจ่ายกำลังไฟฟ้าไฟฟ้าหลัก (i_{sa}) เป็นรูปไข่นมากขึ้น โดยค่า %THD ของกระแสทางด้านแหล่งจ่ายกำลังไฟฟ้าหลักทั้งสามเฟสแสดงไว้ดังตารางที่ 2 ซึ่งค่า %THD ภายหลังการลดเชยเป็นไปตามมาตรฐาน IEEE Std. 519-1992 ด้วยเห็นกัน

ตารางที่ 2 ค่า %THD ของการจำลองสถานการณ์กรีฟ APF เป็นอินเวอร์เตอร์

%THD ของกระแสไฟฟ้า	เฟส			%THD _{av}
	a	b	c	
%THD _{ก่อนการลดเชย}	25.5063	25.4145	25.5798	25.5003
%THD _{หลังการลดเชย}	2.5577	2.5558	2.5752	2.5629

สรุป

การตรวจจับชาร์มนิกด้วยวิธีทฤษฎีกำลังรีแยกที่ฟรีช์ การตรวจจับชาร์มนิกที่มีประสิทธิภาพสำหรับใช้งานร่วมกับวงจรกรองกำลังแยกที่ฟรีช์ การจำลองสถานการณ์โดยใช้ชุดนิสัยไฟฟ้ากำลังกรีฟแบบจำลองของวงจรกรองกำลังแยกที่ฟรีเป็นแหล่งจ่ายกระแสอุดมคติ พนว่างวงจรกรองผ่านสูงชนิด Butterworth อันดับว่างจรกรองที่ 1 ที่ถูกความตื้ดเท่ากับ 100 Hz ให้ประสิทธิภาพสูงสุดในการตรวจจับชาร์มนิก และสำหรับการจำลองสถานการณ์กรีฟแบบจำลองของวงจรกรองกำลังแยกที่ฟรีเป็นอินเวอร์เตอร์ พนว่างวงจรกรองกำลังแยกที่ฟรีสามารถฉีดกระแสเดย์ชิงได้ตามกระแสอ้างอิงที่ได้จากการตรวจจับชาร์มนิก จึงส่งผลให้รูปสัญญาณกระแสไฟฟ้าที่แหล่งจ่ายกำลังไฟฟ้าหลักเป็นรูปไข่นมากขึ้น ซึ่งทำให้ปริมาณของชาร์มนิกที่เกิดขึ้นในระบบไฟฟ้ากำลังลดลงได้ตามมาตรฐาน IEEE Std. 519-1992

เอกสารอ้างอิง

- [1] IEEE Std 519-1992, *IEEE Recommended practices and requirement for harmonic control in electrical power system.*
- [2] Yousif, S.N.A.L., Wanik, M.Z.C. and Mohamed, A., "Implementation of different passive filter designs for harmonic mitigation", *Power and Energy Conference*, 2004, pp. 229-234.
- [3] Jung, G. H. and Cho, G. H., "New Active Power Filter with Simple Low Cost Structure without Tuned Filters", *IEEE Power Electronics Specialists Conference*, 1998, pp. 217-222.
- [4] Singh, B. N. , Singh, B. , Chandra, A. and Al-Haddad, K., "Digital implementation of a new type of hybrid filter with simplified control strategy", *IEEE Applied Power Electronics Conference and Exposition (APEC '99)*, 1999, pp. 642 – 648.
- [5] Peng, F. Z. and Lai, J. S., "Generalized instantaneous reactive power theory for three phase power system", *IEEE Trans. Instrum. Meas.*, vol.45, no.1, February 1996, pp. 293-297.
- [6] Dixon, J. W., Tepper, S. and Moran, L., "Analysis and evaluation of different modulation techniques for active power filter", *IEEE Applied Power Electronics Conference and Exposition*, 1994, pp.894-900.